

## 基于多输入多输出阵列的 3D-FDA-SAR 成像方法

胡梦伊<sup>1</sup>, 廖可非<sup>1,2</sup>, 欧阳缮<sup>1,2</sup>, 李晶晶<sup>1</sup>

(1. 桂林电子科技大学 信息与通信学院, 广西 桂林 541004;

2. 桂林电子科技大学 卫星导航定位与位置服务国家地方联合工程研究中心, 广西 桂林 541004)

**摘要:**针对频率分集阵列三维合成孔径雷达(3D-FDA-SAR)成像方法阵元数目多、阵元利用率低的问题,提出一种基于多输入多输出阵列的 3D-FDA-SAR 成像方法。将 3D-FDA-SAR 切航迹向的频率分集阵列改为多输入多输出频率分集阵列,多输入多输出频率分集阵列随运动平台运动,在沿航迹向形成综合孔径,结合切航迹向的实阵列,合成虚拟二维频率分集阵列平面,获得对目标的下视三维成像能力。首先建立多输入多输出 3D-FDA-SAR 成像模型与信号模型,利用多输入多输出技术,在发射端发送波形正交信号单频窄带信号,在接收端通过全频接收方式,接收所有发射阵元经目标反射后的回波信号,经正交匹配滤波器进行信号分离,获得不同收发通道的回波数据,再利用后向投影算法对回波数据进行成像处理,最终获得目标的三维成像结果。仿真结果表明,基于多输入多输出阵列的 3D-FDA-SAR 成像方法使用少量阵元,提高了阵元利用率,获得了对下视目标的三维成像能力。

**关键词:**多输入多输出;频率分集阵列;合成孔径雷达;三维成像;后向投影

**中图分类号:** TN957. 52

**文献标志码:** A

**文章编号:** 1673-808X(2023)01-0007-06

## 3D-FDA-SAR imaging method based on multiple-input multiple-output array

HU Mengyi<sup>1</sup>, LIAO Kefei<sup>1,2</sup>, OUYANG Shan<sup>1,2</sup>, LI Jingjing<sup>1</sup>

(1. School of Information and Communication, Guilin University of Electronic Technology, Guilin 541004, China;

2. National and Local Joint Engineering Research Center of Satellite Navigation Positioning and Location Service, Guilin University of Electronic Technology, Guilin 541004, China)

**Abstract:** Aiming at the problem of the large number of array elements and low utilization rate of the three-dimensional synthetic aperture radar (3D-FDA-SAR) imaging method of frequency diversity arrays, a 3D-FDA-SAR imaging method based on multiple input and multiple output arrays is proposed. The frequency diversity array of 3D-FDA-SAR tangent track direction is changed to multiple input multiple output frequency diversity array. The multiple input multiple output frequency diversity array moves with the moving platform to form a synthetic aperture along the track direction, combined with the tangent track direction The real array is combined with a virtual two-dimensional frequency diversity array plane to obtain the downward-looking three-dimensional imaging capability of the target. Firstly, a multi-input multi-output 3D-FDA-SAR imaging model and signal model are established, using multi-input multi-output technology, the waveform quadrature signal single-frequency narrowband signal is sent at the transmitting end, and all the transmitting arrays are received through the full-frequency receiving mode at the receiving end. The echo signal reflected by the target is separated by a quadrature matched filter to obtain the echo data of different receiving and sending channels, and then the echo data is imaged by the backward projection algorithm, and finally the three-dimensional imaging result of the target is obtained. Experimental simulation results show that the 3D-FDA-SAR imaging method based on multiple-input multiple-output arrays uses a small number of array elements, improves the utilization of the array elements, and obtains the three-dimensional imaging capability of downward-looking targets.

**收稿日期:** 2021-03-22

**基金项目:** 国家自然科学基金(61631019, 61871425);广西创新驱动发展专项(桂科 AA21077008);桂林电子科技大学研究生教育创新计划(2020YCX035)

**通信作者:** 廖可非(1984—),男,副教授,博士,研究方向为雷达三维成像、散射截面积测量、认知雷达。E-mail: kefeiliao@guet.edu.cn

**引文格式:** 胡梦伊,廖可非,欧阳缮,等. 基于多输入多输出阵列的 3D-FDA-SAR 成像方法[J]. 桂林电子科技大学学报, 2023, 43(1): 7-12.



**Key words:** multiple input multiple output; frequency diverse array; synthetic aperture radar; three dimensional imaging; back projection

合成孔径雷达(synthetic aperture radar, 简称 SAR)包括二维 SAR 和三维 SAR, 三维 SAR 克服了二维 SAR 存在的叠掩等问题, 成为当前 SAR 研究的热点。三维 SAR 成像技术主要包括干涉 SAR<sup>[1]</sup>、层析 SAR<sup>[2]</sup>、圆周 SAR<sup>[3]</sup>、阵列三维 SAR<sup>[4-6]</sup>等。与其他三维 SAR 相比, 阵列三维 SAR 通过在运动平台切航迹向放置线阵, 线阵随平台在空间中运动, 形成沿航迹向的综合孔径, 结合切航迹向的实孔径, 合成二维虚拟阵列平面, 再利用距离向的脉冲压缩技术获得对目标的三维高分辨成像能力, 具有简单灵活的特点, 成为三维 SAR 重要研究方向。

传统阵列三维 SAR 基于相控阵雷达体制, 射频前端发送宽带信号, 由此带来了宽带信号非线性和接收端宽带信号不能有效分离的问题。2006 年, Antonik 等<sup>[7]</sup>提出了频率分集阵列(frequency diverse array, 简称 FDA)概念, 发射阵元不再发送大时宽带信号, 而是发送具有频率差的单频信号, 其带宽为发射阵元不同单频分量拼接获得。同时其波束方向图具有时间、距离、角度耦合的特点<sup>[8-10]</sup>, 因此其对目标进行定位成像时, 存在距离和角度的模糊问题。针对这一问题, 顾坤良等<sup>[11]</sup>提出了一种多次改变频率分集阵列频偏的方法, 并基于 MUSIC 算法对多目标进行定位。文献[12]采用随机频率增量的方法, 获得理想图钉状波束方向图, 并使用压缩感知算法进行成像仿真验证。文献[13]进一步对随机频率分集增量系数进行分析, 提出了一种多目标无模糊定位方法。频率分集阵列三维成像是二维成像的自然延伸, 文献[14-16]利用二维线性频率分集平面, 获得对目标的三维成像能力, 但其波束方向图是三维耦合的。进一步的, Li 等<sup>[17]</sup>提出频率分集阵列三维合成孔径雷达成像(three dimensional frequency diverse array synthetic aperture radar, 简称 3D-FDA-SAR)方法, 实现了对目标无模糊成像, 然而该方法还存在发射阵元数目多、阵元利用率低的问题。多输入多输出合成孔径雷达<sup>[18-20]</sup>, 发射端发送正交信号, 接收端进行正交信号分离, 使用少量阵元, 可等效多个相互独立的虚拟阵元, 提高了阵元利用率。鉴于此, 将多输入多输出技术引入 3D-FDA-SAR 系统中, 提出多输入多输出 3D-FDA-SAR 成像方法。

## 1 多输入多输出阵列构型

在系统几何构型满足远场条件下, 一对收发分置

的天线阵元, 可以由其基线中心位置的一个虚拟收发共用的阵元来等效。多输入多输出阵列采用发射阵元放置在阵列两端, 接收阵元放置在阵列中间的阵列构型。图 1 以 4 发 4 收为例, 展示了在该阵列构型下, 实际收发阵元位置和等效阵列示意图, 其中发射阵元间距为  $2d$ , 接收阵元间距为  $4d$ , 收发阵元间距与等效阵列间距均为  $d$ 。

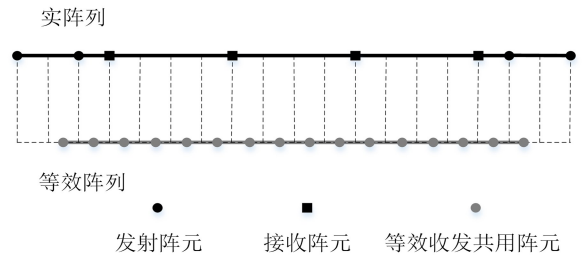


图 1 多输入多输出阵列构型及等效阵列分布示意图

为获得均匀分布的等效阵列, 该阵列构型需满足:

$$\begin{cases} d_T = 2d, \\ d_R = Pd, \\ d_{TR} = d, \end{cases} \quad (1)$$

其中:  $d_T$  为发射阵元间距;  $d_R$  为接收阵元间距;  $d_{TR}$  为收发阵元间距;  $P$  为发射阵元总数;  $d$  为虚拟阵列的阵元间距。实际阵列长度

$$l_r = (P + PQ - 2)d, \quad (2)$$

其中  $Q$  为接收阵元总数。等效阵列的长度

$$l_v = (PQ - 1)d, \quad (3)$$

阵元利用率

$$\eta = \frac{l_v}{l_r}. \quad (4)$$

## 2 基于多输入多输出阵列 3D-FDA-SAR 成像模型

图 2 为基于上述阵列的 3D-FDA-SAR 成像几何模型和重要参数。其中多输入多输出频率分集阵列装载于运动平台并沿  $y$  轴(切航迹向)均匀分布。运动平台在一定高度  $H$ , 沿  $x$  轴(沿航迹向)直线飞行。在不同时刻平台运动到沿航迹向的不同观测点, 在每个观测点为发射阵元重新选择一组无重复的  $P$  个随机频率, 其中发射阵元的随机频率增量从增量集合  $\{0, 1, \dots, (L-1)\Delta f\}$  中随机选取,  $L$  表示增量系数的最大值, 满足  $(L-1)\Delta f \ll f_0$ 。



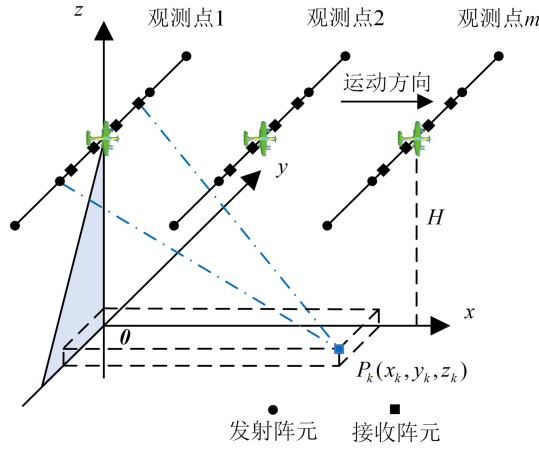


图 2 基于多输入多输出 3D-FDA-SAR 成像模型

多输入多输出频率分集阵列随运动平台在 0 时刻,从高度  $H$  处以速度  $v$  沿  $x$  轴运动。在沿航迹向形成间隔为  $d_x$  的  $M$  个观测点。在第  $m$  个观测点时,第  $p$  个发射阵元的频率为

$$f_{m,p} = f_0 + \Delta f_{m,p} = f_0 + l_{m,p} \Delta f, \quad (5)$$

其中:  $f_0$  为载频;  $l_{m,p}$  为频率增量系数,且满足  $l_{m,p} \in \{0, 1, \dots, L-1\}$ ;  $\Delta f$  为单位频率增量。在第  $m$  个观测点,第  $p$  个发射阵元发送的信号为

$$S_{m,p}(t) = \phi_{m,p}(t) e^{j2\pi(f_0 + l_{m,p} \Delta f)t}, 0 \leq t \leq T_p, \quad (6)$$

其中:  $T_p$  为脉冲持续时间;  $\phi_{m,p}$  为发射归一化包络的正交波形。不同阵元发射的信号彼此正交,满足如下条件:

$$\begin{cases} \int_{T_p} \phi_{m,p_1}(t) \phi_{m,p_2}^*(t - \tau) dt = 0, p_1 \neq p_2, \\ \int_{T_p} \phi_{m,p_1}(t) \phi_{m,p_2}^*(t - \tau) dt = 1, p_1 = p_2, \end{cases} \quad (7)$$

其中:  $\tau$  为时延;  $p_1, p_2$  为发射阵元;  $*$  表示共轭运算。考虑远场情况,则在第  $m$  个观测点时,第  $q$  个阵元接收到的回波信号为

$$\begin{aligned} y_{m,q}(t) = & \sum_{k=1}^K (\sigma(k) \sum_{p=0}^{P-1} \phi_{m,p}(t - \tau_{m,p,q}(k)) e^{j2\pi(f_{m,p}(t - \tau_{m,p,q}(k)))}) + \\ & e_{m,q}(t) \approx \sum_{k=1}^K (\sigma(k) \sum_{p=0}^{P-1} \phi_{m,p}(t - \tau_0) e^{j2\pi(f_{m,p}(t - \tau_0))}) + \\ & e_{m,q}(t), \end{aligned} \quad (8)$$

其中:  $\sigma(k)$  为第  $k$  个目标的反射系数;  $\tau_0 = 2r/c$  为公共时延;  $e_{m,q}(t)$  为加性噪声  $\tau_{m,p,q}(k)$  为目标到发射和接收阵元的往返时延,包括目标到达发射阵元造成的时延  $\tau_{m,p}^T(k)$  和目标到达接收阵元产生的时延

$$\tau_{m,q}^R(k):$$

$$\tau_{m,q,p}(k) = \tau_{m,p}^T(k) + \tau_{m,q}^R(k) = \frac{r_{m,p}^T(k)}{c} + \frac{r_{m,q}^R(k)}{c}, \quad (9)$$

其中:  $r_{m,p}^T(k)$  为发射阵元与目标点的距离;  $r_{m,q}^R(k)$  为接收阵元与目标点的距离,

$$r_{m,p}^T(k) = \sqrt{(P_x(k) - md_x)^2 + (P_y(k) - y_{tp})^2 + (P_z(k) - H)^2}, \quad (10)$$

$$r_{m,q}^R(k) = \sqrt{(P_x(k) - md_x)^2 + (P_y(k) - y_{rp})^2 + (P_z(k) - H)^2}, \quad (11)$$

其中:  $P_x(k), P_y(k), P_z(k)$  为第  $k$  个目标在直角坐标系下的坐标值;  $y_{tp}, y_{rp}$  为发射与接收阵元的  $y$  轴坐标值。在第  $m$  个观测点,经匹配滤波  $\phi_{m,p}(t - \tau_0) e^{j2\pi f_{m,p} t}$ ,得到此观测点第  $q$  个接收阵元,接收来自第  $p$  个发射阵元的回波信号为

$$y_{m,q,p}(t) = \sum_{k=1}^K \{\sigma(k) e^{j2\pi f_{m,p} \tau_{m,p,q}(k)}\} + e_{m,q,p}(t). \quad (12)$$

### 3 成像方法与仿真结果

#### 3.1 基于后向投影算法的成像方法

根据式(12)得到第  $m$  个观测点处的回波数据:

$$y_m = \begin{bmatrix} y_{m,1,1} & y_{m,1,2} & \cdots & y_{m,1,Q} \\ y_{m,2,1} & y_{m,2,2} & \cdots & y_{m,2,Q} \\ \vdots & \vdots & \ddots & \vdots \\ y_{m,P,1} & y_{m,P,2} & \cdots & y_{m,P,Q} \end{bmatrix} \quad (13)$$

对成像区域划分网格体,第  $g$  个网格体与第  $m$  个观测点的第  $p$  个发射阵元、第  $q$  个接收阵元的距离分别为  $r_{m,p}^T(g), r_{m,q}^R(g)$ ,收发时延为  $\tau_{m,p,q}(g)$ ,其中,

$$\tau_{m,p,q}(g) = \frac{r_{m,p}^T(g) + r_{m,q}^R(g)}{c}.$$

对回波数据进行相位补偿,得到第  $g$  个网格体与第  $m$  个观测点,  $p$  个发射阵元  $q$  个接收阵元的成像处理值:

$$I_{m,p,q}(g) = y_{m,p,q}(g) e^{j2\pi(f_0 + l_{m,p}) \Delta f \tau_{m,p,q}}, \quad (14)$$

遍历所有收发阵元,得到第  $g$  个网格体与第  $m$  个观测点所有收发阵元的相位补偿矩阵为



$\Phi_m(g) =$

$$\begin{bmatrix} e^{j2\pi d_{m,1}\Delta f\tau_{m,1,1}} & e^{j2\pi d_{m,1}\Delta f\tau_{m,1,2}} & \dots & e^{j2\pi d_{m,1}\Delta f\tau_{m,1,Q}} \\ e^{j2\pi d_{m,2}\Delta f\tau_{m,2,1}} & e^{j2\pi d_{m,2}\Delta f\tau_{m,2,2}} & \dots & e^{j2\pi d_{m,2}\Delta f\tau_{m,2,Q}} \\ \vdots & \vdots & \ddots & \vdots \\ e^{j2\pi d_{m,P}\Delta f\tau_{m,P,1}} & e^{j2\pi d_{m,P}\Delta f\tau_{m,P,2}} & \dots & e^{j2\pi d_{m,P}\Delta f\tau_{m,P,Q}} \end{bmatrix}, \tag{15}$$

联立式(13)与式(15),得到第  $m$  个观测点处相位补偿后的成像处理值:

$I_m(g) = y_m(g) \circ \Phi_m(g), \tag{16}$

其中,  $\circ$  表示哈达玛积,每个网格体需要进行  $M$  次观测。对每个观测点相位补偿后的成像处理值进行相参累加,得到最终成像像素值:

$I(g) = \left| \sum_{m=0}^{M-1} I_m(g) \right|. \tag{17}$

3.2 仿真结果

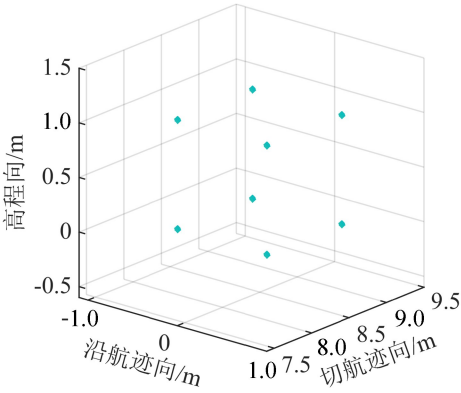
根据上述后向投影算法思想及处理流程,对多输入多输出 3D-FDA-SAR 模型进行仿真,仿真结果如图 2 所示。根据 ARTINO<sup>[7]</sup> 实现系统进行参数设置,参数设置如表 1 所示。

表 1 仿真参数

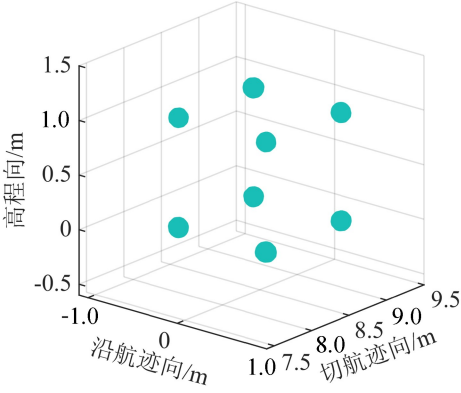
参数	值
载频/GHz	37.5
飞行高度/m	200
飞行速度/(m·s <sup>-1</sup> )	10
X 轴方向虚拟阵列长度/m	4
Y 轴方向虚拟阵列长度/m	4
发射阵元数	40
接收阵元数	36
最大频偏系数	750
单位频率增量/MHz	1

场景设置为 X 轴方向 7.5~9.5 m,Y 轴方向-1~1 m,Z 轴方向-0.5~1.5 m 的区域。图 2(a)为仿真的目标场景,8 个点目标分别位于 1 m 立方体顶点位置,假设目标散射系数为 1,3D-FDA-SAR 与基于多输入多输出阵列构型的 3D-FDA-SAR 仿真结果如图 3(b)与(c)所示,其中成像结果是在成像表面最大值的一3 dB 处进行绘制。

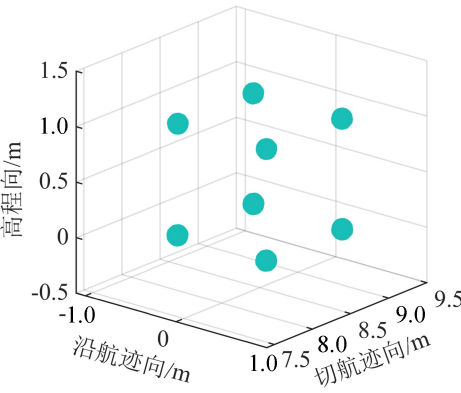
图 3 仿真结果表明,保持其他参数一致,且满足 3D-FDA-SAR 实阵列长度与多输入多输出 3D-FDA-SAR 虚拟阵列长度一致条件。多输入多输出 3D-FDA-SAR 成像方法仅使用 76 个阵元,阵元利用率为 98.6%,可以实现目标的三维成像。



(a) 仿真场景



(b) 3D-FDA-SAR



(c) 基于多输入多输出3D-FDA-SAR

图 3 仿真场景与仿真结果

为进一步分析三维成像效果,保持参数一致,图 4 为 3D-FDA-SAR 在目标点 (8, -0.5, 0) 处的沿航迹向-切航迹向、切航迹向-高程向、沿航迹向-高程向的二维切面图。

从图 4 可看出,3D-FDA-SAR 成像二维切面能量主要聚焦在目标点附近,同时在目标点附近旁瓣较为杂乱。多输入多输出 3D-FDA-SAR 在目标点 (8, -0.5, 0) 处成像二维切面图如图 5 所示。

从图 5 可看出,多输入多输出 3D-FDA-SAR 成像方法,二维切面图清晰且较为规整,使用少量阵元,



chinaXiv:202302.00104v1

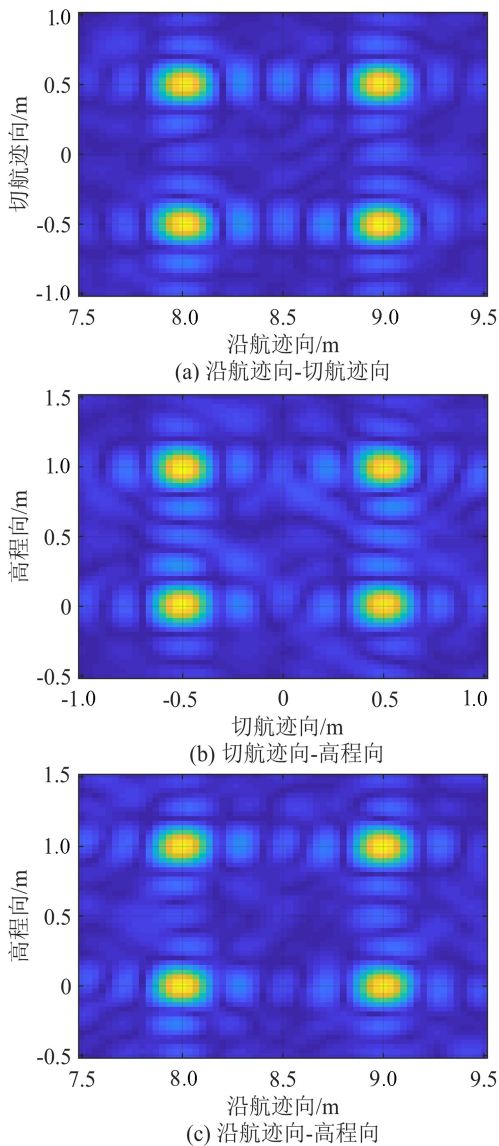


图 4 3D-FDA-SAR 切面图

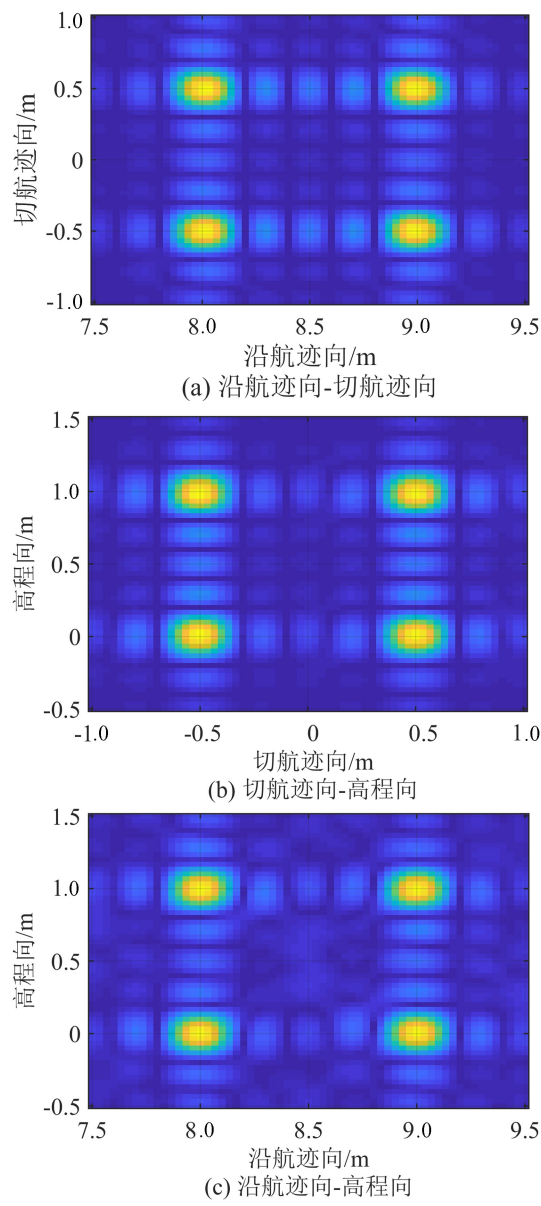


图 5 基于多输入多输出 3D-FDA-SAR 切面图

利用多输入多输出技术进行正交信号分离,提高了阵元利用率,可以实现对目标的三维成像,与理论分析一致。

#### 4 结束语

提出一种基于多输入多输出阵列的 3D -FDA-SAR 成像方法。该方法将多输入多技术引入 3D -FDA-SAR 中,建立了成像模型与信号模型,提高了阵元利用率,实现了对目标的三维成像。仿真结果表明,该方法在相同阵列长度下,提高了阵元利用率,降低了平台载荷,有利于实际布阵与实际应用。

#### 参考文献:

[1] FORNARO G, LOMBARDINI F, SERAFINO F. Three-dimensional multipass SAR focusing: experi-

ments with long-term spaceborne data [J]. IEEE Transactions on Geoscience and Remote Sensing, 2005, 43(4): 702-714.  
[2] REIGBER A, MOREIRA A, PAPATHANASSIOU K P. First demonstration of airborne SAR tomography using multibaseline L-band data[J]. IEEE Transactions on Geoscience and Remote Sensing, 2000, 38(5): 2142-2152.  
[3] BRYANT M L, GOSTIN L L, SOUMEKH M. 3D E-CSAR imaging of a T-72 tank and synthesis of its SAR reconstructions[J]. IEEE Transactions on Aerospace and Electronic Systems, 2003, 39(1): 211-227.  
[4] 丁鹭飞, 耿富录, 陈建春. 雷达原理[M]. 北京: 电子工业出版社, 2014: 414-429.  
[5] 保铮, 邢孟道, 王彤. 雷达成像技术[M]. 北京: 电子工



- 业出版社,2005:350-386.
- [6] 张晓玲,师君,韦顺军. 三维合成孔径雷达[M]. 北京:国防工业出版社,2017:64-79.
- [7] ANTONIK P, WICKS M C, GRIFFITHS H D, et al. Frequency diverse array radars[C]//IEEE Conference on Radar, Verona, NY:IEEE Press,2006:215-217.
- [8] BASIT A, KHAN W, KHAN S, et al. Development of frequency diverse array radar technology: a review[J]. IET Radar Sonar and Navigation, 2018, 12(2): 165-175.
- [9] WANG Wenqin. Ultrawideband frequency-diverse array antennas: range-dependent and autoscanning beam-pattern analysis[J]. IEEE Antennas and Propagation Magazine, 2018, 60(3): 48-56.
- [10] WANG Wenqin, SO Hingcheung, FARINA A. An overview on time/frequency modulated array processing[J]. IEEE Journal of Selected Topics in Signal Processing, 2017, 11(2): 228-246.
- [11] 顾坤良,欧阳缮,李晶晶,等. 基于 MUSIC 算法的频率分集阵列雷达目标定位方法[J]. 桂林电子科技大学学报, 2017, 37(2): 87-91.
- [12] LIU Yimin, RUAN Hang, WANG Lei, et al. The random frequency diverse array: a new antenna structure for uncoupled direction-range indication in active sensing[J]. IEEE Journal of Selected Topics in Signal Processing, 2017, 11(2): 295-308.
- [13] LI Jingjing, OUYANG Shan, SUN Xiyan, et al. Ambiguity analysis for multitarget estimation using random permuted frequency diverse arrays[J]. IEEE Access, 2020, 8: 84680-84688.
- [14] JONES A M, RIGLING B D. Planar frequency diverse array receiver architecture[C]//2012 IEEE Radar Conference, Atlanta, GA: IEEE Press, 2012: 0145-0150.
- [15] XU Yanhong, SHI Xiaowei, XU Jingwei, et al. Beam-pattern analysis of planar frequency diverse array[J]. International Journal of RF and Microwave Computer-Aided Engineering, 2015, 25(5): 436-444.
- [16] SAEED S, QURESHI I M, KHAN W, et al. Frequency offset selection based adaptive 3D beamforming in planar frequency diverse array[C]//International Symposium on Recent Advances in Electrical Engineering, Islamabad, Pakistan: IEEE Press, 2019: 1-6.
- [17] LI Jingjing, LIAO Kefei, OUYANG Shan. 3D imaging using synthetic aperture radar with a frequency diverse array[J]. IEEE Geoscience and Remote Sensing Letters, 2021, 18(5): 846-850.
- [18] KLARE J, WEISS M, PETERS O, et al. ARTINO: a new high resolution 3D imaging radar system on an autonomous airborne platform[C]//IEEE International Symposium on Geoscience and Remote Sensing, Denver, CO: IEEE Press, 2006: 3842-3845.
- [19] 王力宝. 多输入多输出合成孔径雷达关键技术研究[D]. 长沙:国防科学技术大学,2010:49-66.
- [20] WANG Wenqin. MIMO SAR imaging: potential and challenges[J]. IEEE Aerospace and Electronic Systems Magazine, 2013, 28(8): 18-23.

编辑:张所滨